

Cryptanalyse algébrique de McEliece

J.-C. Faugère, L. Perret, A. Otmani, J.-P. Tillich

Frédéric de Portzamparc

Journées C2 2012, Dinard

08 octobre 2012



- 1 Cryptosystème de McEliece
- 2 Attaque algébrique de Faugère-Otmani-Perret-Tillich (FOPT)
- 3 Étude approfondie de l'attaque

1 Cryptosystème de McEliece



2 Attaque algébrique de Faugère-Otmani-Perret-Tillich (FOPT)

3 Étude approfondie de l'attaque

Cryptosystème de McEliece



-  R.J. McEliece.
A public-key cryptosystem based-on algebraic coding theory, 1978.
-  N. Courtois, M. Finiasz, N. Sendrier.
How to achieve a McEliece-based digital signature scheme.
ASIACRYPT 2001

Cryptosystème de McEliece

-  R.J. McEliece.
A public-key cryptosystem based-on algebraic coding theory, 1978.
-  N. Courtois, M. Finiasz, N. Sendrier.
How to achieve a McEliece-based digital signature scheme.
ASIACRYPT 2001
- G_{Gop} : matrice d'un code de Goppa $[n, k, t]_q$
 $(S, P) \in GL_k(\mathbb{F}) \times P_n$: clé privée

$$G_{pub} = \mathbf{S}G_{Gop}\mathbf{P}.$$

Cryptosystème de McEliece


-  R.J. McEliece.
A public-key cryptosystem based-on algebraic coding theory, 1978.
-  N. Courtois, M. Finiasz, N. Sendrier.
How to achieve a McEliece-based digital signature scheme.
ASIACRYPT 2001
- G_{Gop} : matrice d'un code de Goppa $[n, k, t]_q$
 $(S, P) \in GL_k(\mathbb{F}) \times P_n$: clé privée


$$G_{pub} = \mathbf{S}G_{Gop}\mathbf{P}.$$


- Sécurité : problème NP-dur de décodage d'un code

Sécurité de McEliece



ISD (Information Set Decoding) :

-  A. Canteaut, N. Sendrier
Cryptanalysis of the Original McEliece Cryptosystem, 1998
McEliece 1978 : $[1024, 524, 50]_2$ 2^{64} op.



⋮
-  D. J. Bernstein, T. Lange, C. Peters
Attacking and defending the McEliece cryptosystem,
Post-Quantum Cryptography, 2008

⋮
-  Anja Becker, Antoine Joux, Alexander May, Alexander Meurer
Decoding Random Binary Linear Codes in $2^{n/20}$: How $1 + 1 = 0$ Improves Information Set Decoding
EUROCRYPT 2012

Attaque structurelle : Recherche exhaustive sur un des éléments privés.

-  **N. Sendrier**
Finding the permutation between linear codes : The support splitting algorithm.
IEEE, 2000
-  **P. Loidreau, N. Sendrier**
Weak keys in the McEliece public-key cryptosystem.
IEEE, 2001

Attaque structurelle : Recherche exhaustive sur un des éléments privés.

-  N. Sendrier
Finding the permutation between linear codes : The support splitting algorithm.
IEEE, 2000
-  P. Loidreau, N. Sendrier
Weak keys in the McEliece public-key cryptosystem.
IEEE, 2001
- Bilan : attaques exponentielles en la taille des paramètres

Variantes compactes du cryptosystème de McEliece

Tailles de clé importantes (80-bits de sécurité : **460,000** bits)

Variantes compactes du cryptosystème de McEliece

Tailles de clé importantes (80-bits de sécurité : **460,000** bits)

$$C_i = \begin{pmatrix} a_0 & a_1 & \cdots & a_{\ell-1} \\ a_{\ell-1} & a_0 & \cdots & a_{\ell-2} \\ \vdots & \ddots & \ddots & \vdots \\ a_1 & a_{\ell-1} & \cdots & a_0 \end{pmatrix}$$

bloc cyclique

T. Berger, P.-L. Cayrel, Ph. Gaborit, A. Otmani.

Reducing Key Length of the
McEliece Cryptosystem.
AFRICACRYPT 2009

Variantes compactes du cryptosystème de McEliece

Tailles de clé importantes (80-bits de sécurité : **460,000** bits)

$$C_i = \begin{pmatrix} a_0 & a_1 & \cdots & a_{\ell-1} \\ a_{\ell-1} & a_0 & \cdots & a_{\ell-2} \\ \vdots & \ddots & \ddots & \vdots \\ a_1 & a_{\ell-1} & \cdots & a_0 \end{pmatrix}$$

bloc cyclique

T. Berger, P.-L. Cayrel, Ph. Gaborit, A. Otmani.

Reducing Key Length of the McEliece Cryptosystem.
AFRICACRYPT 2009

$$\Delta_j = \left(\begin{array}{cc|cc} a_0 & a_1 & a_2 & a_3 \\ a_1 & a_0 & a_3 & a_2 \\ \hline a_2 & a_3 & a_0 & a_1 \\ a_3 & a_2 & a_1 & a_0 \end{array} \right)$$

bloc dyadique

R. Misoczki, P. S. L. M. Barreto.
Compact McEliece Keys from Goppa Codes.
SAC 2009

1 Cryptosystème de McEliece

2 **Attaque algébrique de Faugère-Otmani-Perret-Tillich (FOPT)**

3 Étude approfondie de l'attaque

Attaque algébrique de Faugère-Otmani-Perret-Tillich : *Algebraic Cryptanalysis of McEliece Variants with Compact Keys, Eurocrypt 2010*

Théorème

Les codes de Goppa sont des codes alternants.

Théorème

Les codes de Goppa sont des codes alternants.

Définition (Codes alternants)

Soient $\mathbf{x} = (x_0, \dots, x_{n-1}) \in \mathbb{F}_q^n$, avec $x_i \neq x_j$ et $\mathbf{y} = (y_0, \dots, y_{n-1}) \in \mathbb{F}_q^n$, tq $y_i \neq 0$, et une matrice de parité de la forme

$$A_t(\mathbf{x}, \mathbf{y}) = \begin{pmatrix} y_0 & y_1 & \dots & y_{n-1} \\ y_0 x_0 & y_1 x_1 & \dots & y_{n-1} x_{n-1} \\ \vdots & & \ddots & \vdots \\ y_0 x_0^{t-1} & & \dots & y_{n-1} x_{n-1}^{t-1} \end{pmatrix}$$

$\mathcal{C}_{alt} = \{\mathbf{c} \in \mathbb{F}_q^n \mid A_t(\mathbf{x}, \mathbf{y})^t \mathbf{c} = 0\}$ de paramètres $[n, k \geq n - mt, \geq t]_q$

- \mathbf{x}, \mathbf{y} connus \implies décodage polynomial de $\frac{t}{2}$ erreurs

Attaque algébrique de Faugère-Otmani-Perret-Tillich

But de l'attaque : retrouver x et y

Attaque algébrique de Faugère-Otmani-Perret-Tillich

But de l'attaque : retrouver \mathbf{x} et \mathbf{y}

- $A_t(\mathbf{x}, \mathbf{y})$ matrice de parité $\iff {}^t G_{pub} A_t(\mathbf{x}, \mathbf{y}) = 0$

$$\left\{ \sum_{l=0}^{n-1} g_{i,l} y_l x_l^p = 0 \mid 0 \leq i < k, 0 \leq p \leq t-1 \right\}.$$

Attaque algébrique de Faugère-Otmani-Perret-Tillich

But de l'attaque : retrouver \mathbf{x} et \mathbf{y}

- $A_t(\mathbf{x}, \mathbf{y})$ matrice de parité $\iff {}^t G_{pub} A_t(\mathbf{x}, \mathbf{y}) = 0$

$$\left\{ \sum_{l=0}^{n-1} g_{i,l} y_l x_l^p = 0 \mid 0 \leq i < k, 0 \leq p \leq t-1 \right\}.$$

- Système algébrique : résolution par bases de Gröbner (F4,F5)
 - ▶ Système très structuré

But de l'attaque : retrouver \mathbf{x} et \mathbf{y}

- $A_t(\mathbf{x}, \mathbf{y})$ matrice de parité $\iff {}^t G_{pub} A_t(\mathbf{x}, \mathbf{y}) = 0$

$$\left\{ \sum_{l=0}^{n-1} g_{i,l} y_l x_l^p = 0 \mid 0 \leq i < k, 0 \leq p \leq t-1 \right\}.$$

- Système algébrique : résolution par bases de Gröbner (F4,F5)
 - ▶ Système très structuré
- Complexité polynomiale ou exponentielle ?

Attaque algébrique de Faugère-Otmani-Perret-Tillich

 T. Berger, P.-L. Cayrel, Ph. Gaborit, A. Otmani.

Reducing Key Length of the McEliece Cryptosystem, AFRICACRYPT 2009.

 R. Misoczki, P. S. L. M. Barreto.

Compact McEliece Keys from Goppa Codes, SAC 2009.

q	n_0	t	FGb(F5)
2^8	9	51	0.06 s
2^8	10	51	0.03 s
2^8	12	51	0.05 s
2^8	15	51	0.02 s
2^{10}	6	75	0.05s
2^{10}	6	93	0.05s
2^{10}	8	93	0.02s
2^8	15	255	0.08s

Table: Paramètres quasi-cycliques
 $[n = n_0 t, k, t]_q$

Attaque algébrique de Faugère-Otmani-Perret-Tillich

 T. Berger, P.-L. Cayrel, Ph. Gaborit, A. Otmani.

Reducing Key Length of the McEliece Cryptosystem, AFRICACRYPT 2009.

 R. Misoczki, P. S. L. M. Barreto.

Compact McEliece Keys from Goppa Codes, SAC 2009.

q	n_0	t	Fgb(F5)
2^8	9	51	0.06 s
2^8	10	51	0.03 s
2^8	12	51	0.05 s
2^8	15	51	0.02 s
2^{10}	6	75	0.05s
2^{10}	6	93	0.05s
2^{10}	8	93	0.02s
2^8	15	255	0.08s

Table: Paramètres quasi-cycliques
 $[n = n_0 t, k, t]_q$

q	n_0	t	Fgb(F5)
2^8	5	256	0.03 s
2^8	5	128	0.02 s
2^8	6	128	0.05 s
2^8	12	64	0.03 s
2^4	32	64	0.50 s
2^2	56	64	1776 s
2	40	64	NA
2	80	128	NA

Table: Paramètres quasi-dyadiques
 $[n = n_0 t, k, t]_q$

1 Cryptosystème de McEliece

2 Attaque algébrique de Faugère-Otmani-Perret-Tillich (FOPT)

3 Étude approfondie de l'attaque

Étude approfondie de l'attaque

- Mieux comprendre le rôle des différents paramètres.
 - ▶ Compter précisément variables et équations dans le cas quasi-dyadique

Étude approfondie de l'attaque

- Mieux comprendre le rôle des différents paramètres.
 - ▶ Compter précisément variables et équations dans le cas quasi-dyadique
- Étendre l'attaque à \mathbb{F}_2
 - ▶ **Possible** en exploitant une propriété des Goppa binaires (dyadique ou quelconque)

Étude approfondie de l'attaque

- Mieux comprendre le rôle des différents paramètres.
 - ▶ Compter précisément variables et équations dans le cas quasi-dyadique
- Étendre l'attaque à \mathbb{F}_2
 - ▶ **Possible** en exploitant une propriété des Goppa binaires (dyadique ou quelconque)
- Automatiser l'attaque de FOPT
 - ▶ Implantation Magma de **TweakedF4**
- En cours : adapter des résultats théoriques sur les systèmes bilinéaires

Système FOPT : comptage des équations

$$\left\{ \begin{array}{l} P_{i,p} = \sum_{0 \leq l < n} g_{i,k} y_l x_l^p = 0 \mid 0 \leq i \leq k, 0 \leq p \leq t-1 \\ g_{i,j} \in \mathbb{F}_q, Y_l, X_l \in \mathbb{F}_{q^m}, q = 2^u. \end{array} \right\}$$

Système FOPT : comptage des équations

$$\left\{ \begin{array}{l} P_{i,p} = \sum_{0 \leq l < n} g_{i,k} y_l x_l^p = 0 \mid 0 \leq i \leq k, 0 \leq p \leq t-1 \\ g_{i,j} \in \mathbb{F}_q, Y_l, X_l \in \mathbb{F}_{q^m}, q = 2^u. \end{array} \right\}$$

- G de la forme $(I_k \mid A) \implies y_i + \sum_{l=0}^{n-k-1} g_{i,k+l} y_{k+l} = 0, 0 \leq i < k.$

Système FOPT : comptage des équations

$$\left\{ \begin{array}{l} P_{i,p} = \sum_{0 \leq l < n} g_{i,k} y_l x_l^p = 0 \mid 0 \leq i \leq k, 0 \leq p \leq t-1 \\ g_{i,j} \in \mathbb{F}_q, Y_l, X_l \in \mathbb{F}_{q^m}, q = 2^u. \end{array} \right\}$$

- G de la forme $(I_k \mid A) \implies y_i + \sum_{l=0}^{n-k-1} g_{i,k+l} y_{k+l} = 0, 0 \leq i < k$.
- (\mathbf{x}, \mathbf{y}) solution $\implies (a\mathbf{x} + b, c\mathbf{y})$ solution : on peut fixer des variables.

Système FOPT : comptage des équations

$$\left\{ P_{i,p} = \sum_{0 \leq l < n} g_{i,k} y_l x_l^p = 0 \mid 0 \leq i \leq k, 0 \leq p \leq t-1 \right\}$$
$$g_{i,j} \in \mathbb{F}_q, Y_l, X_l \in \mathbb{F}_{q^m}, q = 2^u.$$

- G de la forme $(I_k \mid A) \implies y_i + \sum_{l=0}^{n-k-1} g_{i,k+l} y_{k+l} = 0, 0 \leq i < k$.
- (\mathbf{x}, \mathbf{y}) solution $\implies (a\mathbf{x} + b, c\mathbf{y})$ solution : on peut fixer des variables.
- G_{pub} **quasi-dyadique** : relations supplémentaires
 - 1 $\mathbf{y}_{rt+i} = \mathbf{y}_{rt}$
 - 2 $\mathbf{x}_{rt+i} = \mathbf{x}_{rt} + \sum_{i=0}^{\lambda-1} i_k (\mathbf{x}_0 + \mathbf{x}_{2^k})$ avec $0 \leq r < n_0, 0 \leq i < t, i = \sum_{k=0}^{s-1} i_k 2^k$

Système FOPT : comptage des équations

$$\left\{ P_{i,p} = \sum_{0 \leq l < n} g_{i,k} y_l x_l^p = 0 \mid 0 \leq i \leq k, 0 \leq p \leq t-1 \right\}$$

$$g_{i,j} \in \mathbb{F}_q, Y_l, X_l \in \mathbb{F}_{q^m}, q = 2^u.$$

- G de la forme $(I_k \mid A) \implies y_i + \sum_{l=0}^{n-k-1} g_{i,k+l} y_{k+l} = 0, 0 \leq i < k.$
- (\mathbf{x}, \mathbf{y}) solution $\implies (a\mathbf{x} + b, c\mathbf{y})$ solution : on peut fixer des variables.
- G_{pub} **quasi-dyadique** : relations supplémentaires
 - 1 $\mathbf{y}_{rt+i} = \mathbf{y}_{rt}$
 - 2 $\mathbf{x}_{rt+i} = \mathbf{x}_{rt} + \sum_{i=0}^{\lambda-1} i_k (\mathbf{x}_0 + \mathbf{x}_{2^k})$ avec $0 \leq r < n_0, 0 \leq i < t, i = \sum_{k=0}^{s-1} i_k 2^k$

McEliece général	McEliece QD
$n - 2$ inconnues X	$n_0 + \lambda - 2$ inconnues X
$mt - 1$ inconnues Y	$m - 1$ inconnues Y
$t(n - mt)$ équations	$t(n - mt)$ équations
$\lambda(n - mt)$ eq. $(1, 2^s)$	$\lambda(n - mt)$ eq. $(1, 2^s)$

$$\lambda = \log_2(t).$$

Codes de Goppa quasi-dyadiques : nouvelles relations

- Structure quasi-dyadique = dyadique par blocs :

$$G_{pub} = \left(\begin{array}{cc|cc|c} g_0 & g_1 & g_2 & g_3 & \\ g_1 & g_0 & g_3 & g_2 & \dots \\ \vdots & \vdots & \vdots & \vdots & \end{array} \right)$$

$$g_{i,j}^{(k)} = g_{0,j \oplus i}^{(k)} \text{ avec } i, j < t.$$

Codes de Goppa quasi-dyadiques : nouvelles relations

- Structure quasi-dyadique = dyadique par blocs :

$$G_{pub} = \left(\begin{array}{cc|cc|c} g_0 & g_1 & g_2 & g_3 & \\ \hline g_1 & g_0 & g_3 & g_2 & \dots \\ \vdots & \vdots & \vdots & \vdots & \end{array} \right)$$

$$g_{i,j}^{(k)} = g_{0,j \oplus i}^{(k)} \text{ avec } i, j < t.$$

$$\begin{aligned} \mathbf{P}_{0,2^s} + \mathbf{P}_{1,2^s} &= \sum_{k=0}^{n-1} g_{0,k} y_k x_k^{2^s} + \sum_{k=0}^{n-1} \underbrace{g_{1,k}}_{=g_{0,k \oplus 1}} y_k x_k^{2^s} \\ &= \sum_{k=0}^{n-1} g_{0,k} y_k x_k^{2^s} + \sum_{k=0}^{n-1} g_{0,k} \underbrace{y_{k \oplus 1}}_{=y_k} x_{k \oplus 1}^{2^s} \\ &= \sum_{k=0}^{n-1} g_{0,k} y_k (x_k + x_{k \oplus 1})^{2^s} \\ &= \left(\sum_{k=0}^{n-1} g_{0,k} y_k \right) (x_0 + x_1)^{2^s} \\ &= 0. \end{aligned}$$

Codes de Goppa quasi-dyadiques : description du système

$$(S_{QD}) : \left\{ \sum_{0 \leq p < n_0} Y_p \sum_{\substack{0 \leq i < t \\ 0 \leq k < (n_0 - m), 0 \leq s \leq \lambda - 1}} g_{kt,pt+i} X_{pt+i}^{2^s} = 0 \right\}$$

Théorème


$$(S_{QD}) \text{ contient exactement : } \begin{cases} n_0 + \lambda - 2 \text{ variables } X_i \\ m - 1 \text{ variables } Y_j \\ \lambda(\cancel{n - mt}) \rightarrow \lambda(n_0 - m) \text{ eq. } (1, 2^s) \end{cases}$$

Codes de Goppa quasi-dyadiques : description du système

$$(S_{QD}) : \left\{ \sum_{0 \leq p < n_0} Y_p \sum_{0 \leq i < t} g_{kt,pt+i} X_{pt+i}^{2^s} = 0 \right\}_{0 \leq k < (n_0 - m), 0 \leq s \leq \lambda - 1}$$

Théorème

$$(S_{QD}) \text{ contient exactement : } \begin{cases} n_0 + \lambda - 2 \text{ variables } X_i \\ m - 1 \text{ variables } Y_j \\ \lambda(\cancel{n - mt}) \rightarrow \lambda(n_0 - m) \text{ eq. } (1, 2^s) \end{cases}$$

-  JC Faugère, M. Safey El Din, PJ Spaenlehauer.
Gröbner Bases of Bihomogeneous Ideals generated by Polynomials of Bidegree (1,1) : Algorithms and Complexity.
- $\left\{ \sum_{i,j} \alpha_{i,j}^{(k)} Y_i X_j = 0, k \leq n_X + n_Y \right\}$: $\min(n_X, n_Y)$ constant, la résolution est polynomiale en $n_X + n_Y$.

Système pour un code sur \mathbb{F}_2

- McEliece standard : code de Goppa binaire

Difficultés rencontrées :

- 1 Problème dans l'implantation FOPT : peu d'équations
- 2 Système ${}^tGA_t(\mathbf{x}, \mathbf{y}) = 0$ avec $g_{i,j} \in \mathbb{F}_2$: pas 0-dimensionnel

Système pour un code sur \mathbb{F}_2

- McEliece standard : code de Goppa binaire

Difficultés rencontrées :

- 1 Problème dans l'implantation FOPT : peu d'équations
- 2 Système ${}^tGA_t(\mathbf{x}, \mathbf{y}) = 0$ avec $g_{i,j} \in \mathbb{F}_2$: pas 0-dimensionnel



F.J. MacWilliams and N.J.A. Sloane

The Theory of Error-Correcting Codes, Elsevier/NorthHolland, 1977

Propriété (Codes de Goppa binaires)

$${}^tG_{pub}A_t(\mathbf{x}, \mathbf{y}) = 0 \implies {}^tG_{pub}A_{2t}(\mathbf{x}, \mathbf{y}^2) = 0.$$

Système pour un code sur \mathbb{F}_2

- McEliece standard : code de Goppa binaire

Difficultés rencontrées :

- 1 Problème dans l'implantation FOPT : peu d'équations
- 2 Système ${}^tGA_t(\mathbf{x}, \mathbf{y}) = 0$ avec $g_{i,j} \in \mathbb{F}_2$: pas 0-dimensionnel



F.J. MacWilliams and N.J.A. Sloane

The Theory of Error-Correcting Codes, Elsevier/NorthHolland, 1977

Propriété (Codes de Goppa binaires)

$${}^tG_{pub}A_t(\mathbf{x}, \mathbf{y}) = 0 \implies {}^tG_{pub}A_{2t}(\mathbf{x}, \mathbf{y}^2) = 0.$$

- Nouvelles équations qui complètent (S_{QD}) :

$$\sum_{l=0}^{n-1} g_{it,l} y_l^2 x_l = 0, 0 \leq i < n_0$$

- Avec ces équations, le cas binaire n'est pas à part *i.e.* même stratégie de résolution

Stratégie de résolution

- F4 \implies calcul directe de base de Gröbner : complexité élevée

Stratégie de résolution

- F4 \implies calcul directe de base de Gröbner : complexité élevée
- (y_0, \dots, y_{d-1}) connus

$$\left\{ \sum_{k=0}^{n-1} g_{i,k} y_k X_k^{2^s} = 0 \right\} \implies \left\{ \sum_{k=0}^{n-1} g_{i,k}^{q^m - 2^s} y_k^{q^m - 2^s} X_k = 0 \right\} \text{ linéaire}$$

Stratégie de résolution

- F4 \implies calcul directe de base de Gröbner : complexité élevée
- (y_0, \dots, y_{d-1}) connus

$$\left\{ \sum_{k=0}^{n-1} g_{i,k} y_k X_k^{2^s} = 0 \right\} \implies \left\{ \sum_{k=0}^{n-1} g_{i,k}^{q^m - 2^s} y_k^{q^m - 2^s} X_k = 0 \right\} \text{ linéaire}$$

Calcul de bases de Gröbner : TweakedF4

1: **repeat**

2: $G_d := \text{GröbnerBasis} <_{ord} (S, d)$ pour $<_{ord}$ bien choisi

Stratégie de résolution

- F4 \implies calcul directe de base de Gröbner : complexité élevée
- (y_0, \dots, y_{d-1}) connus

$$\left\{ \sum_{k=0}^{n-1} g_{i,k} y_k X_k^{2^s} = 0 \right\} \implies \left\{ \sum_{k=0}^{n-1} g_{i,k}^{q^m - 2^s} y_k^{q^m - 2^s} X_k = 0 \right\} \text{ linéaire}$$

Calcul de bases de Gröbner : TweakedF4

- 1: **repeat**
- 2: $G_d := \text{GröbnerBasis} <_{ord} (S, d)$ pour $<_{ord}$ bien choisi
- 3: $f_1(\mathbf{Y}), \dots, f_i(\mathbf{Y}) := G_d \cap \mathbb{F}_{q^m}[\mathbf{Y}]$

Stratégie de résolution

- F4 \implies calcul directe de base de Gröbner : complexité élevée
- (y_0, \dots, y_{d-1}) connus

$$\left\{ \sum_{k=0}^{n-1} g_{i,k} y_k X_k^{2^s} = 0 \right\} \implies \left\{ \sum_{k=0}^{n-1} g_{i,k}^{q^m - 2^s} y_k^{q^m - 2^s} X_k = 0 \right\} \text{ linéaire}$$

Calcul de bases de Gröbner : TweakedF4

- 1: **repeat**
- 2: $G_d := \text{GröbnerBasis} <_{ord}(S, d)$ pour $<_{ord}$ bien choisi
- 3: $f_1(\mathbf{Y}), \dots, f_i(\mathbf{Y}) := G_d \cap \mathbb{F}_{q^m}[\mathbf{Y}]$
- 4: **until** $S_Y = \{f_1(\mathbf{Y}) = 0, \dots, f_i(\mathbf{Y}) = 0\}$ a un nombre fini de sols
- 5: **return** (y_0, \dots, y_{d-1})

Stratégie de résolution

- F4 \implies calcul directe de base de Gröbner : complexité élevée
- (y_0, \dots, y_{d-1}) connus

$$\left\{ \sum_{k=0}^{n-1} g_{i,k} y_k X_k^{2^s} = 0 \right\} \implies \left\{ \sum_{k=0}^{n-1} g_{i,k}^{q^m - 2^s} y_k^{q^m - 2^s} X_k = 0 \right\} \text{ linéaire}$$

Calcul de bases de Gröbner : TweakedF4

1: **repeat**

2: $G_d := \text{GröbnerBasis} <_{ord}(S, d)$ pour $<_{ord}$ bien choisi

3: $f_1(\mathbf{Y}), \dots, f_i(\mathbf{Y}) := G_d \cap \mathbb{F}_{q^m}[\mathbf{Y}]$

4: **until** $S_Y = \{f_1(\mathbf{Y}) = 0, \dots, f_i(\mathbf{Y}) = 0\}$ a un nombre fini de sols

5: **return** (y_0, \dots, y_{d-1})

- Choix de $<_{ord}$: "favoriser" les \mathbf{Y}

grevlex $[X, Y]$	25s	elim $[X, Y]$	5s
grevlex $_{\mathbf{W}}[X, Y]$	20s	elim $_{\mathbf{W}}[X, Y]$	3s

Temps de résolution pour $n_0 = 32, m = 2, t = 128$

Nouvelle implantation en Magma

Challenges quasi-dyadiques : $\mathbf{x}, \mathbf{y} \in \mathbf{F}_{2^{16}}$

q	n_0	t	n_Y	n_X	Fgb(F5)	Magma TweakedF4
2^8	5	256	1	11	0.03s	30s
2^8	5	128	1	10	0.02s	12s
2^8	6	128	1	11	0.05s	8.5s
2^8	12	64	1	12	0.03s	0.2s

Paramètres : $\mathbf{x}, \mathbf{y} \in \mathbf{F}_{2^{12}}$

2^4	32	64	2	36		688s
-------	----	----	---	----	--	------

En contournant **artificiellement** la recherche des \mathbf{Y} :

2^4	32	64	1	36	0.50 s	0.45s
2^2	56	64	1	60	1776 s	1.7s
2	40	64	1	44	NA	0.8s

Table: Cryptanalyse de codes QD[$n = n_0 t, k, t$] sur \mathbb{F}_q .

- **TweakedF4** : Affiner le choix de $<_{ord}$, borner le degré à atteindre
- Approfondir le lien avec les systèmes bi-homogènes $(1, 1)$ ou $(1, D)$
- Exploiter la surdétermination

Merci de votre attention !